

## تعیین خصوصیات آبخوان کارستی چشمه برم جمال با استفاده از پاسخهای فیزیکی-شیمیایی

سید یحیی میرزا<sup>۱</sup>

مسعود سیدی‌پور<sup>۲</sup>

منوچهر چیتسازان<sup>۱</sup>

(دریافت ۸۵/۹/۲۳ پذیرش ۸۷/۴/۱۸)

### چکیده

چشمه برم جمال در جنوب غرب ایران در استان خوزستان و در شمال شرق شهر اهواز واقع شده است. یالهای شمال شرقی و جنوب غربی تاقدیس کوه سفید، که از سازند کربناته و کارستی اسمازی تشکیل شده‌اند، خوبه‌آبگیر این چشمه را شامل می‌شوند. در این حوضه سیماهای کارستی از قبیل فروچاله، غار و پدیده‌های مورفو‌لولوژیک سطحی مناطق کارستی نیز قابل مشاهده است. عبور چند روند گسله از تاقدیس کوه سفید باعث شده تا آبخوان چشمه برم جمال به شدت خرد شده و فرایند کارستی شدن در امتداد سیستم‌های درز و شکستگی صورت گیرد. در طول مدت مطالعه، هدایت الکتریکی، اسیدیته و دمای آب چشمه هر هفت‌تۀ و در فاصله زمانی ۱۲ ماه و آنالیز نمونه‌های آب چشمه به منظور تعیین میزان غلظت آبیون‌ها و کاتیون‌های اصلی انجام شد. آبدهی چشمه به روش دبی-اشل به صورت روزانه در طول زمان فروکش و دو هفته‌یکبار در زمان آرامش اندازه‌گیری می‌شد. با استفاده از مدل کامپیوتري PHreeqc 2.6 فشار جزئی دی اکسید کربن و شاخصهای اشباع کلسیت و دولومیت تعیین شد. در هیدروگراف چشمه برم جمال سه ضریب فروکش  $\alpha_1$ ،  $\alpha_2$  و  $\alpha_3$  و ضریب فروکشن ناشی از وقایع بارندگی  $\alpha_4$  تمیز داده شد که تفاوت قابل ملاحظه‌ای بین دومین و سومین ضریب فروکشن به چشم نخورد. جریان پایه برای فروکش‌های  $\alpha_1$ ،  $\alpha_2$  و  $\alpha_3$  به ترتیب برایر ۴۹، ۷۵/۳۴ و ۱۰۰ درصد به دست آمد. هدایت الکتریکی، غلظتهای کلسیم، کربنات و بیکربنات و شاخص اشباع کلسیت تغییرات شاخصی را نشان ندادند، مورفو‌لولوژی و زمین‌شناسی خوبه‌آبگیر چشمه برم جمال و داده‌های هیدروگراف و آنالیز شیمیایی نمونه‌ها بیانگر این است که سیستم هیدروژئولوژیکی آبخوان کارستی چشمه برم جمال از نوع مجرایی-افشان می‌باشد.

واژه‌های کلیدی: چشمه برم جمال، ضرایب فروکش، شاخص اشباع کلسیت.

## Characterization of Barjejamal Spring Karst Aquifer Using Physico-Chemical Spring Responses

Manochehr Chitsazan<sup>1</sup>

Masoud Sayyedipour<sup>2</sup>

Seyed Yahya Mirzaie<sup>3</sup>

(Received Dec. 13, 2006 Accepted July 8, 2008)

### Abstract

Barjejamal Spring is located in northeast of Ahwaz, Khuzestan Province, Iran. The catchment area of the spring consists of the northeast and southwest flanks of the Koh-e-Safid anticline, which is made up of karstic calcareous Asmari formations. There are sinkholes, caves, and other karst landforms in the catchment area. The existence of several faults has brecciated Barjejamal spring karst aquifer that may have caused karstification to occur in parallel fracture systems. For the purposes of this study, pH and water temperature were measured on a weekly basis for a period of 12 months and water samples were analyzed for major anions and cations. Flow rate was measured on a daily basis during the recession, and weekly during the rest of the study period. Using the PHreeqc 2.6 computer model, the partial pressure of carbon dioxide and the saturation index of calcite and dolomite were also estimated. Three distinct periods belonging to three recession coefficients ( $\alpha_1$ ,  $\alpha_2$ ,  $\alpha_3$ ) were observed in the hydrograph of the Barjejamal Spring. No considerable differences were observed between the

۱- دانشیار گروه زمین‌شناسی، دانشگاه شهید چمران اهواز، (تویسته مسئول) (۰۶۱) ۳۷۳۸۱۹۹ (۰۶۱) ۳۷۳۸۱۹۹  
(Corresponding Author) (+98 611) 3738199 Chitsazan\_m@scu.ac.ir

۲- کارشناس هیدروژئولوژی مهندسین مشاور زایندآب، اصفهان

۳- استادیار دانشگاه شهید چمران اهواز

Chitsazan\_m@scu.ac.ir

۲- عضو هیئت علمی گروه زمین‌شناسی، دانشگاه شهید چمران اهواز

first and second recession coefficients. Base flow for  $\alpha_1$ ,  $\alpha_2$  and  $\alpha_3$  constituted 49%, 75.34%, and 100% of the total flow in the first and second recession periods and in the precipitation period, respectively. The variation of specific conductance, calcium and bicarbonate concentrations, and calcite saturation indices were not significant throughout the study period. The morphology and geology of the Barjejamal Spring catchment area and the data from hydrograph and chemographs show that the hydrologic system is of the diffuse-conduit flow type.

**Keywords:** Barmejamal Spring, Recession Coefficients, Calcite Saturation Indices.

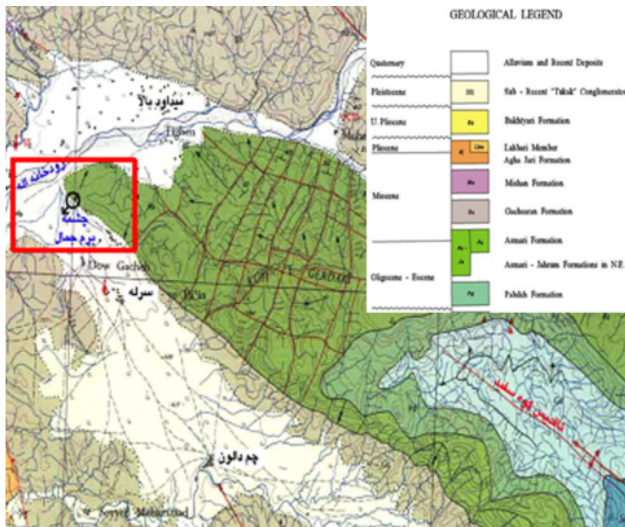
۱ - مقدمه

از دیدگاه هیدرولوژیکی سیستم‌های کارستی، سیستم‌های ناهمگن متشکل از شبکه‌ای از مجاری انحلالی می‌باشند که دارای هدايت هیدرولوژیکی بالا ( $k$ ) بزرگ‌تر از  $10^{-1}$  متر بر ثانیه<sup>-1</sup> بوده و در زمینه‌ای از مواد با نفوذپذیری پایین، در حد  $(10^{-3} < k < 10^{-7})$ ، قرار گرفته‌اند. در این سیستم‌ها عمدتاً مجاری انحلالی در ارتباط با چشممه‌های کارستی بوده، لذا تجزیه و تحلیل، تغییرات و نحوه فروکش دبی، همچنین غلظت یون‌های محلول در چشممه‌ها می‌تواند منعکس کننده خصوصیات کل سیستم باشد و به ارزیابی ذخیره، پتانسیل زهکشی، درجه کارستی شدن و مرزهای هیدرولوژیکی آن کمک نماید. مطالعات گسترده‌ای در سطح دنیا بر روی تحلیل پاسخهای فیزیکی و شیمیایی چشممه‌های کارستی صورت گرفته که با توجه به پیچیدگی و غیر یکنواختی سیستم‌های کارستی در هر منطقه، این تحلیلها نیز دارای تنوع نسبتاً زیادی هستند [۱-۹].

٢- بحث

چشمۀ کارستی برم جمال با مختصات جغرافیایی (۳۸۹۷۳۷، ۳۴۷۲۰۴۱) در منطقه جمال از توابع بخش میداود در استان خوزستان و در دماغه تاقدیس کوه سفید واقع شده است. در این ناحیه از لحاظ زمین‌شناسی سازندۀای مختلفی شامل نهشته‌های سخت شده رودخانه‌ای، سازند تبخیری گچساران و آهک‌های درز و شکاف‌دار آسماری، رخمنون دارد. با توجه به تأثیر شدید عوامل تکتونیکی راستاهای گسله با روندهای ۴۰ تا ۶۰ N و ۷۰ تا ۸۰ N، گسله‌هایی با امتداد SE-NE ۸۰/۶۳ - N ۷۳ / ۴۳، N ۶۰ / NE ۱۳۵ و N ۸۴ / ۱۶۰ در منطقه نمود پیدا کرده است. خردشگی شدید ساختارهای منطقه باعث پیدایش اشکال کارستی متنوع و ذخایر آب زیرزمینی خصوصاً در بخش دماغه تاقدیس کوه سفید شده و خروج بخشی از منابع این تاقدیس باعث ایجاد چشمۀ برم جمال در دماغه این تاقدیس شده است (شکا، ۱).

آب چشمء برم جمال از چندین نقطه و به صورت محلی ظاهر می شود. در محل این چشمء شیب لا یه ها به سمت جنوب غرب است و چشمء در محل تقاطع گسل در امتداد لغز میداود با لا یه بندی سازند آسماری در دماغه تاقدیس کوه سفید ظاهر شده است. با توجه



## شكل ١ - موقعیت چشمہ برم جمال

به بررسی‌های انجام شده در منطقه مورد مطالعه، مهم‌ترین چشممه‌های موجود شامل سه چشممه با اسمی چشممه دوگچه، چشممه سرله و چشممه برم جمال است. ولی اصلی‌ترین تخلیه کننده آبخوان کارستی منطقه، همان چشممه برم جمال محسوب می‌شود. بنابراین برای بررسی خصوصیات هیدرودینامیکی، محاسبه حجم ذخیره دینامیک، تعیین نوع جریان، محاسبه حوضه آبگیر چشممه کارستی و بسط تفسیرهای هیدرورژئولوژیکی آبخوان کارستی منطقه، این چشممه کارستی به عنوان چشممه معرف انتخاب و در طی یک دوره آماری در طول سال آبی ۱۳۸۲ تا ۱۳۸۳داده‌های مختلف فیزیکی و شیمیایی این چشممه ثبت شد و بررسی‌های مختلف فیزیکی و شیمیایی بر روی آن صورت گرفت. برای تحلیل هیدرورگراف چشممه از معادلات تحلیلی (روابط ۱ و ۲) مرتبط با بخش یالهای فروکوش کننده هیدرورگراف استفاده گردید.

$$Q_t = Q_0 e^{-\alpha t} \quad (1)$$

$$Q_t = Q_0 e^{-\alpha(t-t_0)} \quad (12)$$

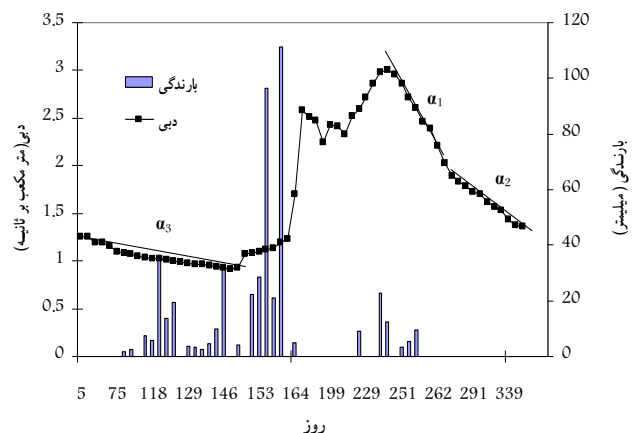
که در آن

آبدهی چشمی در طول دوره  $t-t_0$  بر حسب متر مکعب بر ثانیه،  $Q_t$   
آبدهی چشمی در زمان  $t_0$  بر حسب متر مکعب بر ثانیه،  $Q_0$   
زمان شروع محاسبه تخلیه آب از آبخوان،  $t_0$  زمان پایان دوره

با پایین افتادن شدید سطح آب سیستم کارستی، کاهش شیب هیدرولیکی نیز رخ داده و تخلیه آب آهسته تر از رژیم  $\alpha_1$  صورت می‌گیرد. تعییرات آبدی چشمde در طول کل این میکرورژیم (۱۲۱) روز در مقایسه با رژیم  $\alpha_1$  ناچیز و آبهای خروجی از سیستم، احتمالاً مربوط به آب موجود در تخلخل شکافی و مجاری غیرفعال آبخوان می‌باشد. با توجه به هیدروگراف، چشمde برم جمال در فاصله اوایل بهمن تا اواخر بهمن نیز یک دوره فروکش را طی کرده است که به دلیل وجود بارندگی در این دوره این فروکش را نمی‌توان به عنوان فروکش اصلی در نظر گرفت و احتمالاً افزایش آبدی چشمde در این زمان به دلیل ایجاد جریان پیستونی بارندگی و افزایش بار هیدرولیکی در مخزن و بیرون رانده شدن آب ذخیره شده در سیستم بوده است و یا نشان دهنده رسیدن آبهای موجود در فاصله مکانی نزدیک به چشمde می‌باشد. میکرورژیم  $\alpha_3$  با طول دوره ۱۴۷ روز در واقع ادامه رژیم  $\alpha_2$  دوره زمانی قلی بوده ولی در این میکرورژیم سرعت تخلیه آب از آبخوان کارستی تاقدیس کوه سفید نسبت به دوره‌های قبلی کمتر است که این امر نشان دهنده تأثیر زیاد خلل و فرج، درزهای ریزتر و تخلخل شکافی در این میکرورژیم می‌باشد. با توجه به وضعیت نوسانات هیدروگراف در صورتی که پس از رژیم  $\alpha_2$  هیچ‌گونه بارندگی در منطقه رخ ندهد، می‌توان انتظار داشت که بعد از گذشت حدود ۱۶ ماه از شروع رژیم  $\alpha_2$ ، چشمde برم جمال خشک شود. این مطلب نشان دهنده حجم ذخیره دینامیک زیاد این آبخوان کارستی بر روی هیدروگراف چشمde تعیین نوع جریان در آبخوان کارستی بر روی هیدروگراف چشمde برم جمال جریان پایه<sup>۱</sup> و جریان سریع<sup>۲</sup> به طور محزا و با مقادیر مربوط به هر یک در جدول ۲ آورده شده است. با توجه به نتایج حاصل، در طول دوره مطالعه بخش عمداتی از آبدی چشمde برم جمال از طریق جریان پایه تأمین گردیده است (۳۹/۳۶ درصد از کل جریان) که بر این اساس، چشمde کارستی برم جمال در گروه چشمde‌های با جریان زیرین<sup>۳</sup> قرار می‌گیرد [۱۲]. در این چشمde در رژیم  $\alpha_1$  حدود ۵۱ درصد آبدی چشمde از طریق جریان سریع تأمین شده است که این امر میان غالب بودن رژیم جریان مجرایی در این دوره است. در رژیم  $\alpha_2$  در حدود ۲۴/۷ درصد آبدی چشمde از طریق جریان سریع تأمین شده که در این رژیم نقش غارها و مجاری انحلالی در حال کاهش یافتن است و در رژیم  $\alpha_3$  فقط جریان افشاری بر چشمde اعمال می‌شود و ۱۰۰ درصد آبدی چشمde از جریان پایه آبخوان تأمین می‌گردد (جدول ۲). با توجه به نتایج حاصل حجم ذخیره دینامیکی آبخوان کارستی چشمde برم جمال با

محاسبه،  $\alpha$  ضریب الگوی تخلیه آبخوان (ضریب فروکش)،  $\epsilon$  پایه لگاریتم طبیعی و ضریب  $\alpha$  در این روابط نتیجه خصوصیات هیدروژئولوژیکی محیط شامل تخلخل مؤثر و ضریب قابلیت انتقال (T) آبخوان بوده و نشانگر توانایی تخلیه آب زیرزمینی است. در صورتی که شیب منحنی فروکش کم باشد، تأخیر در خروج ذخیره زیاد شده و این حالت معرف ذخیره دینامیکی مناسب آبخوان (بالاتر از چشمde) است. بر عکس وقتی منحنی فروکش (ضریب  $\alpha$ ) دارای شیب تندی باشد، در این حالت ذخیره دینامیکی موقعیتی و خیلی سریع تخلیه می‌شود [۱۰ و ۱۱].

پس از ترسیم هیدروگراف چشمde برم جمال (شکل ۲) در دوره مورد مطالعه (نیمه مرداد ماه ۱۳۸۲ تا نیمة شهریور ماه ۱۳۸۳) ضرایب فروکش تخلیه آبخوان چشمde برم جمال محاسبه شد (جدول ۱).



شکل ۲- هیدروگراف و میزان بارندگی روزانه مربوط به چشمde برم جمال

بر اساس شکل ۲ و داده‌های جدول ۱ در ابتدای دوره، آبدی چشمde حدود ۱/۲ متر مکعب بر ثانیه بوده و در فاصله حدود ۵ ماه از شروع دوره در دی ماه به ۲/۵ متر مکعب بر ثانیه رسیده است. کوتاه بودن مدت رژیم  $\alpha_1$  و عملکرد آن در این زمان کوتاه، احتمالاً پاسخ چشمde نسبت به بارندگی آذر و دی ماه ۱۳۸۲ است. در طول زمان بارش آبهایی که از طریق بارندگی وارد مخزن شده‌اند، به سرعت از طریق مجاری و کانال‌های بزرگ تخلیه می‌شوند. در رژیم  $\alpha_1$  حجم عظیمی از آب توسط مجراهای توسعه یافته کارستی تخلیه می‌شود، به طوری که آبدی چشمde در مدت ۳۸ روز از حدود ۲/۹ متر مکعب در ثانیه به حدود ۱/۷ متر مکعب در ثانیه می‌رسد. به نظر می‌رسد بارندگی‌هایی که در ماههای آذر، دی و بهمن رخ داده، در میکرورژیم  $\alpha_1$  از چشمde خارج می‌شوند. حجم زیاد آب و سرعت زهکشی بالا در این مدت نشان دهنده غالب بودن جریان مجرایی و متلاطم در این میکرورژیم می‌باشد. در میکرورژیم  $\alpha_2$  تخلیه آب عمده‌ای از طریق ذخیره درون سیستم صورت گرفته و

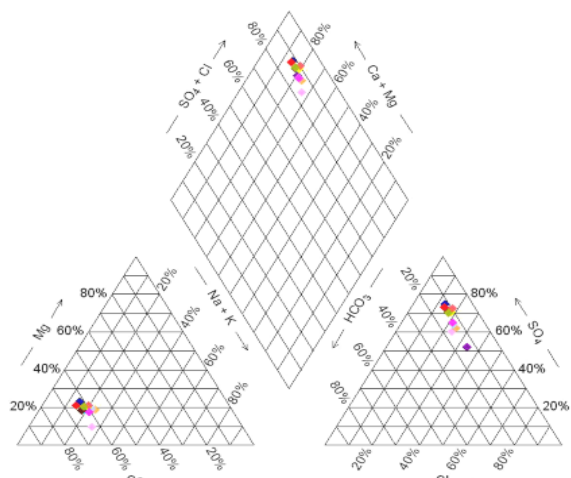
<sup>1</sup> Base Flow  
<sup>2</sup> Quick Flow  
<sup>3</sup> Spring Underflow  
<sup>4</sup> Conduit

جدول ۱- ضرایب فروکش چشمیه برم جمال و طول مدت تأثیر هر یک از ضرایب

$\alpha_3$	طول دوره (روز)	ضریب فروکش	$\alpha_2$	طول دوره (روز)	ضریب فروکش	$\alpha_1$	طول دوره (روز)	ضریب فروکش	سال
۱۴۷		۰/۰۰۲۴۱۰	-	-	-	-	-	-	۱۳۸۲
-	-	-	۱۲۱	-	۰/۰۰۳۸۱۲	۳۸	-	۰/۰۱۳۹۰۱	۱۳۸۳

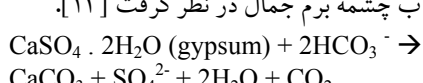
جدول ۲- جداسازی جریان پایه و جریان سریع در رژیم‌های مختلف جریان چشمیه برم جمال

آبدھی حداکثر	درصد جریان			مجموع	حجم جریان (میلیون متر مکعب)		مدت دوره
	جریان سریع	جریان پایه	جریان پایه		جریان سریع	جریان پایه	
۲/۹	۳۳/۶۱	۶۶/۳۹	۵۵/۵۵۰	۱۸/۶۷	۳۶/۸۸	کل دوره	
۲/۹	۵۱	۴۹	۳۰/۷۱	۱۵/۶۹	۱۵/۰۲	$\alpha_1$	
۱/۷	۲۴/۶۶	۷۵/۳۴	۱۴/۸۰	۳/۶۵	۱۱/۱۵	$\alpha_2$	
۱/۲	.	۱۰۰	۱۳/۶۹	.	۱۳/۶۹	$\alpha_3$	



شکل ۳- نمودار پایپر نمونه‌های آب چشمیه برم جمال در طول دوره مطالعاتی

سولفور در زون‌های تکتونیزه و کارستی مناطق نفتی شده که رخنمنون چشمیه‌های گوگردی و گچ ترش موجود در اطراف چشمیه برم جمال نیز می‌تواند مؤید وجود این گونه واکنش‌ها باشد (شکل ۱). افزایش میزان یون سولفات و کلسیم در چشمیه برم جمال می‌تواند در اثر پیدیده یون مشترک و تأثیر سازند تبخیری گچساران باشد. بنابراین با توجه به آهکی بودن مخزن چشمیه برم جمال و فراوانی یون کلسیم در مقابل یون بیکربنات و در نتیجه عدم تعادل بین این دو یون و از طرفی فراوانی یون سولفات در آب چشمیه، می‌توان اثر یون مشترک را علتی برای افزایش سولفات آب چشمیه برم جمال در نظر گرفت [۱۳].



استفاده از رابطه ۳، برابر  $102/24 \times 10^6$  متر مکعب محاسبه گردید.

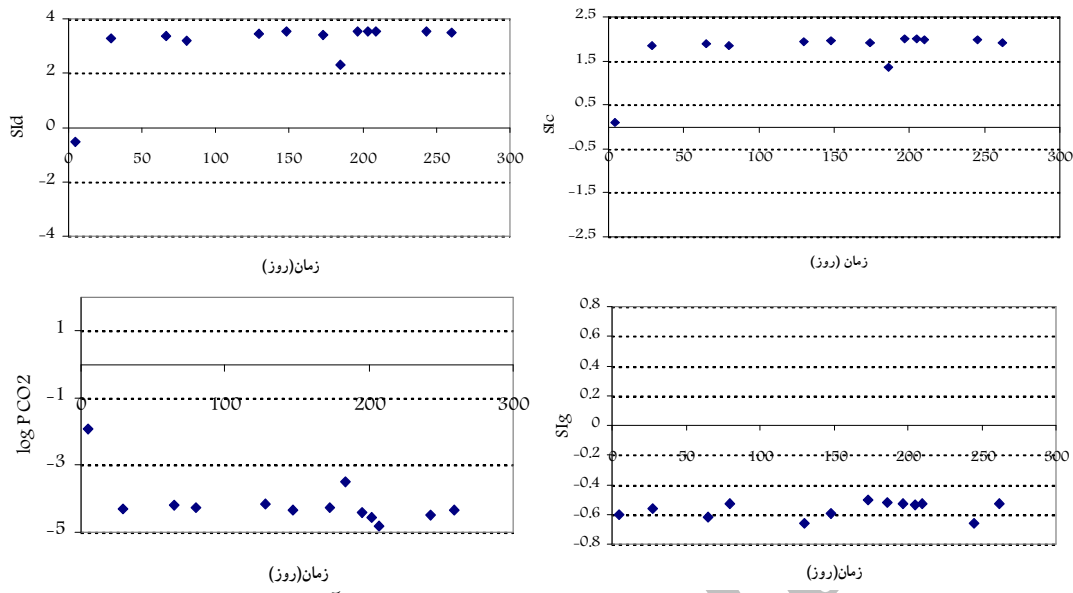
$$V_0 = 86400 \left[ \frac{Q_{01}}{\alpha_1} + \frac{Q_{02}}{\alpha_2} + \frac{Q_{03}}{\alpha_3} + \dots + \frac{Q_{0n}}{\alpha_n} \right] \quad (3)$$

که در این رابطه

$Q_0$  تخلیه یا جریان خروجی،  $V_0$  حجم دینامیکی آبخوان و  $\alpha$  ضریب فروکش است.

برای شناخت دقیق خصوصیات و رفتار هیدروژئولوژیکی چشمیه برم جمال از بررسی‌ها و تحلیل‌های هیدروشیمیایی نیز استفاده شد. بر این اساس از تیرماه ۱۳۸۲ تا اردیبهشت ماه ۱۳۸۳ نمونه‌های آب چشمیه برم جمال مورد آنالیز قرار گرفت. میانگین یون‌های اصلی آب چشمیه برم جمال در دوره مطالعاتی چنین است: سولفاتات ۳۳/۴، کلسیم ۳۰/۸، نیزیم ۹/۷، کلر ۱۰. سدیم ۹/۷، بیکربنات ۳/۶ و پتانسیم ۰/۲.

نمودار پایپر داده‌های چشمیه نشان داد چرخه تکامل یونی (در قسمت لوزی) تبعیت بیشتری از چرخه تکامل آنیونی دارد (شکل ۳). اگرچه سازند آهکی - دولومیتی آسماری به عنوان مخزن برای آب چشمیه برم جمال در نظر گرفته می‌شود، اما آب چشمیه، از نوع کربناته نبوده و در سرتاسر سال سولفات‌که کلسیک - کلروره سدیک بوده و شبیه به آبهای چشمیه‌های کارستی معمولی در سنگهای آهکی نیست. از دیگر خصوصیات متفاوت چشمیه برم جمال با دیگر چشمیه‌های کارستی، میزان بالای یون سولفات آب این چشمیه است که با توجه به شواهد زمین شناسی و هیدروژئوکیمی عوامل مختلفی از جمله، وجود مارکرهای نفتی در اطراف چشمیه و تأثیر مارکرهای نفتی و واکنش این مواد با ساختارهای حاوی سولفات، موجب افزایش هیدروژن



شکل ۴- تغییرات اندیس‌های اشباع کلسیت، دولومیت، ژیپس آب چشم برم جمال

اثر تنفس ریشه گیاهان در منطقه و یا تجزیه مواد آلی مانند بقایای گیاهان و فضولات حیوانی عشاير منطقه باشد.

### ۳- نتیجه گیری

به دلیل وجود مورفولوژی سطحی کارست پیشرفت و وجود درزه و شکافهای تکتونیکی، آهک بر هنره، ضریب تغییرات سختی کل بیشتر از ۱۰ درصد در رژیم کل و کمتر از ۱۰ درصد در رژیمهای فرعی و انحراف معیار درجه حرارت کمتر از ۱/۵ درجه، آبخوان کارستی چشم برم جمال از نوع افshan - مجرایی می‌باشد.

از مجموع عوامل مؤثر بر شکل هیدروگراف چشمۀ کارستی برم جمال، عامل بارندگی نقش بسیار زیادی را در نوسانات هیدروگراف چشمۀ ایفا می‌کند.

با به کار بردن روش محاسبۀ ذخیره دینامیک در آهکهای کارستی، حجم ذخیره دینامیک سیستم آبخوان کارستی چشمۀ برم جمال  $10^2 \times 24 \times 10^2$  متر مکعب محاسبه گردید.

بر اساس مطالعه هیدروشیمیایی آب چشمۀ برم جمال، آب کارستی کربناته کلسیک مربوط به سنگ مخزن سازند آسماری، آب سولفاته - کلسیک مربوط به سورابه‌های نفتی و سازند گچساران، آب کلروره - سدیک مربوط به شورابه‌های نفتی و سازند گچساران، در تغذیه چشمۀ برم جمال دخالت دارند.

با توجه به محاسبات انجام شده توسط مدل کامپیوتری PHREEQC 2.6 در مورد تغییرات اندیس‌های اشباع کلسیت، دولومیت، ژیپس و همچنین منفی لگاریتم فشار جزئی دی‌اکسید کربن باید گفت، اندیس‌های اشباع کلسیت (میانگین  $SIC = 1/78$ ) برابر  $SIc$  (۱/۱۱) و دولومیت ( $SIc = 3/11$ ) تقریباً در طول سال همیشه ثابت بوده و فقط در مرداد ماه به مقادیر نزدیک به صفر و منفی میل کرده است (شکل ۴). مقادیر  $SIc$  در طول دوره مورد مطالعه دارای تغییرات شبیه به یکدیگر می‌باشند. در رژیم زمستانه با کاهش مقدار دبی چشمۀ، مقادیر اندیس اشباع کلسیت و دولومیت در فاصله زمانی کوتاهی کاهش پیدا کرده که احتمالاً علت این امر ناشی از رقیق شدن آب در اثر ورود آبهای تازه به سیستم کارستی است. مشبت بودن اندیس‌های اشباع کلسیت و دولومیت در طول سال تأییدی بر صحت و درستی نوع جریان به دست آمده (افshan - مجرایی) در آبخوان کارستی منطقه مورد مطالعه محسوب می‌شود. بر اساس نتایج، مقادیر اندیس اشباع دولومیت در همه ماههای سال بیشتر از اندیس اشباع کلسیت می‌باشد. مقادیر فشار جزئی دی‌اکسید کربن در دوره مطالعه روند تغییرات جزئی را نشان می‌دهد و تقریباً ثابت است.

متوسط لگاریتم فشار جزئی دی‌اکسید کربن در طول دوره اندازه‌گیری  $4/14$ - است که نشانگر عبور آب از محیط با فشار جزئی دی‌اکسید کربن بیشتر از جوّ است. این فشار می‌تواند در

#### ۴- مراجع

- 1- Currens, J. (2002). "Changes in groundwater quality in a conduit-flow-dominated karst aquifer, following BMP implementation." *Environmental Geology*, 42 (5), 525-531.
- 2- Birk, S. (2004). "Identification of localized recharge and conduit flow by combined analysis of hydraulic and physico-chemical spring responses." *J. of Hydrology*, 286 (1-4), 179-193.
- 3- Genthon, P. (2005). "Temperature as a marker for karstic waters hydrodynamics." *J. of Hydrology*, 311(1-4), 157-171.
- 4- Kova'cs, A. (2005). "A quantitative method for the characterisation of karst aquifers based on spring hydrograph analysis." *J. of Hydrology*, 303 (1-2), 152-160.
- 5- Karimi, H. (2005). "Characterising the main karst aquifers of the Alvand basin, northwest of Zagros, Iran, by a hydrogeochemical approach." *J. Hydrogeology*, 13(5-6), 787-799.
- 6- Mangin, A. (1975). "Contribution a la tude hydrodynamique des aquifères Karstiques." *Ann Speleol*, 29 (5-6), 283-332.
- 7- Drogue, C. (1972). "Analyse statistique des hydrogrammes de décrues des sources karstiques." *J. of Hydrology*, 15, (1-4), 49-68.
- 8- Elhatip, H. (1997). "Karst hydrogeology of the Kas,-Kalkan springs along the Mediterranean coast of Turkey." *Environmental Geology*, 36 (1-2), 150-158.
- 9- Aquilina, L. (2005). "Recharge processes in karstic systems investigated through the correlation of chemical and isotopic composition of rain and spring-waters." *Applied Geochemistry*, 20 (4), 2189-2206.
- ۱۰- آغاسی، ع. (۱۳۷۸). *میدروژیولوژی کارست*، انتشارات طرح تهیه استانداردهای مهندسی آب کشور، تهران.
- ۱۱- چیت سازان، م. و کشکولی، ح. (ترجمه) (۱۳۸۱). *مدل سازی آبهای زیرزمینی و حل مسائل میدروژیولوژی*، تألیف نون کرسیک، انتشارات دانشگاه شهید چمران، اهواز.
- 12- Worthington, S. R. H. (1991). "Karst hydrogeology of the Canadian Rocky Mountains." PhD. Thesis, Department of Geography, McMaster University, Hamilton, Ontario, Canada.
- 13- Langmuir, D. (1997). *Aqueous environmental geochemistry*, Prentice Hall, New Jersey.